

استفاده از روش‌های ژئوالکتریک در بررسی وضعیت نشت آب از محدوده سد رسوب‌گیر معدن مس میدوک

سحر یحیی آبادی^۱، احمد قربانی^{۲*}، عبدالحمید انصاری^۲ و الهام ساعی نیا^۳

^۱دانشجوی کارشناسی ارشد، دانشکده معدن و متالورژی، دانشگاه یزد، ایران

^۲دانشیار، دانشکده معدن و متالورژی، دانشگاه یزد، ایران

^۳دانش آموخته کارشناسی ارشد، دانشکده معدن و متالورژی، دانشگاه یزد، ایران

(تاریخ دریافت: ۹۵/۰۴/۱۲، تاریخ پذیرش: ۹۵/۱۲/۲۲)

چکیده

با توجه به اثرات سوء زیستمحیطی سدهای باطله و ناپایداری مکانیکی آن‌ها به دلیل فرسایش داخلی ناشی از نشت‌های احتمالی، دیدبانی عملکرد این سدها بسیار ضروری است و عاملی برای مدیریت بهتر فعالیت‌های معدنی به حساب می‌آید. در این پژوهش به منظور بررسی وضعیت نشت آب از سد رسوب‌گیر معدن مس میدوک و شناسایی عامل نشت، از روش‌های ژئوفیزیکی توموگرافی مقاومت‌ویژه الکتریکی و پتانسیل خودزا استفاده شده است. برداشت توموگرافی مقاومت‌ویژه الکتریکی بر روی ۳ پروفیل ۲۰۰ متری با فاصله الکترودی ۱۰ متر و ۱ پروفیل ۴۰۰ متری با فاصله الکترودی ۲۰ متر و برداشت پتانسیل خودزا با اندازه‌گیری بر روی ۷ پروفیل با فاصله الکترودی ۱۰ متر، در پایین دست سد رسوب‌گیر انجام گرفت. لازم به ذکر است به علت ساختار سنگی سد و پوشش تاج آن با مصالح سنگی درشت‌دانه، برداشت‌های ژئوفیزیکی بر روی تاج امکان‌پذیر نبود. نتایج برداشت توموگرافی مقاومت‌ویژه الکتریکی در پایین دست سد رسوب‌گیر، دو زون رسانا، یکی در یال شرقی و دیگری در یال اصلی سد رسوب‌گیر را نشان می‌دهد که بیانگر خردشگی بستر سد در این محل‌هاست. در یال شرقی در حال حاضر، نشت از روی بستر سد قابل مشاهده است. پیش‌بینی می‌شود با افزایش سطح آب و رسوبات در پشت سد، نشت از بستر یال اصلی نیز اتفاق بیفتد. نتایج نشان می‌دهد عوامل زمین‌شناسی وجود زون خرد شده در بستر سد، عامل اصلی نشت است. همچنین در نتایج برداشت پتانسیل خودزا، وجود آنومالی مثبت پتانسیل خودزا در پایین دست سد، دو مسیر نشت زیر سطحی را نشان می‌دهد که تأییدی بر نتایج توموگرافی است. انطباق نتایج حاصل از دو روش، نشان‌دهنده وجود نشت از بستر سد در یال شرقی و اصلی آن است. با افزایش سطح آب و رسوبات در پشت سد، امکان افزایش دبی نشت از زون‌های مشاهده شده و ایجاد مسیرهای جدید وجود دارد. این موضوع علاوه بر کاهش مقدار آب برگشتی به کارخانه فرآوری، مخاطرات زیستمحیطی نیز در پی خواهد داشت.

واژه‌های کلیدی: پتانسیل خودزا، توموگرافی مقاومت‌ویژه الکتریکی، دیدبانی، سد رسوب‌گیر، معدن مس میدوک، نشت.

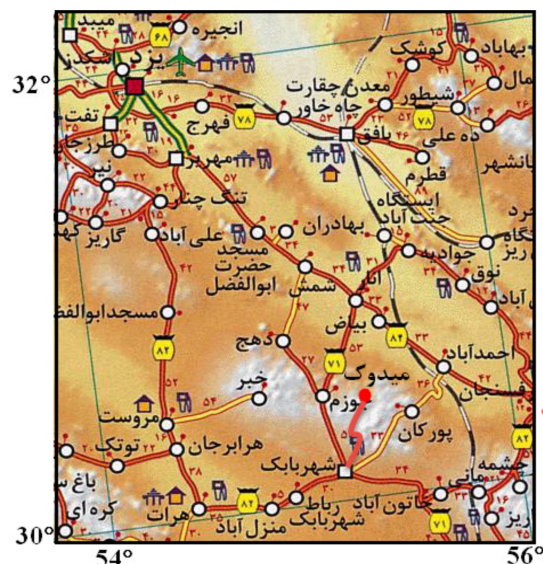
۱ مقدمه

کار و انها و همکارانش (۲۰۰۵) در توصیف ژئوفیزیکی آبگیر سد باطله معدن سرب و روی شرق فلاتند، نشان داد نتایج حاصل از مقاومت‌ویژه الکتریکی در این نواحی در مقایسه با خاک و رسویات طبیعی مقدار کمتری را به خود اختصاص داده است و استفاده از رسانندگی الکتریکی که عکس مقاومت‌ویژه است، نه تنها برای تعیین ضخامت بستر سد باطله و محتوى رطوبت و سطح ایستابی در آبگیر، بلکه در تعیین ترکیب شیمیایی سد باطله نیز اطلاعاتی به دست می‌دهد. مینلی (۲۰۰۶) از روش‌های مقاومت‌ویژه الکتریکی و پتانسیل خودزا برای شناسایی نشت غیرعادی در یک سد باطله و دیدبانی شرایط فیزیکی سد در زمان‌های مختلف استفاده کرد و قابلیت این روش‌ها را در بررسی تغییرات زمانی شرایط سد باطله نشان داد. اگیلوی و همکارانش (۲۰۰۹) نشان دادند شناسایی و ردیابی آلودگی آب ناشی از سایت‌های معادن متروکه (دپوها و سد باطله) با استفاده از روش توموگرافی مقاومت‌ویژه الکتریکی امکان‌پذیر است. مور و همکارانش (۲۰۱۱) از روش‌های پتانسیل خودزا و مقاومت‌ویژه الکتریکی به منظور بررسی ساختار داخلی و وضعیت نشت یک سد یخی در کالیفرنیا استفاده کردند و جهت جریان نشت را تعیین کردند و پس از تجزیه و تحلیل ترکیبی داده‌ها به این نتیجه رسیدند که فرسایش حاصل از نشت، سد یخی را تحت تأثیر قرار نمی‌دهد. آیکارد و همکارانش (۲۰۱۴) با استفاده از روش‌های ژئوالکتریکی پتانسیل خودزا و توموگرافی مقاومت‌ویژه الکتریکی، وضعیت نشت یک سد خاکی در ایالت کلورادو را بررسی کرده و سه منطقه نشت غیرعادی درون سد باطله را تعیین و منبع ترشحات نشت را مشخص کردند. به علاوه، آیکارد و همکارانش (۲۰۱۵) جهت بررسی ارتباط هیدرولیکی بین مخزن و منطقه نشت پایین‌دست یک سد خاکی واقع در دامنه کوههای راکی کلورادو نیز از این دو روش ژئوالکتریکی استفاده

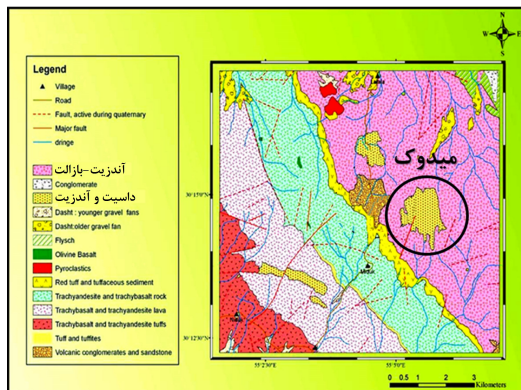
استخراج از معادن مانند سایر فعالیت‌های صنعتی می‌تواند بر محیط‌زیست تأثیر منفی بگذارد. سدهای باطله در مقایسه با دیگر ساختارها در معادن آسیب‌پذیرتر بوده و تأثیرات منفی عمده‌ای ایجاد می‌کنند. این سدها به علت طبیعت ناپایدار، محل قرارگیری که اغلب نزدیک به اکوسیستم‌های حساس است و نبود نگهداری‌های لازم به خصوص بعد از پایان عمر معدن، تهدیدی مهم برای مالکین صنایع و محیط‌زیست به شمار می‌آیند (گرنجیا و همکاران، ۲۰۱۱). سدهای باطله مستعد ابتلا به نشت غیرعادی در هسته و پایه هستند که یک کاتالیزور برای فرسایش داخلی سد است و می‌تواند منجر به فروپاشی آن شود (آیکارد و همکاران، ۲۰۱۵). شناسایی فرسایش داخلی آسان نیست، اما با توجه به اینکه در اثر فرسایش داخلی و نشت آب از سد، خواص فیزیکی مواد تغییر می‌کند، ژئوفیزیک قادر به آشکارسازی فرسایش داخلی و نشت‌های بی‌亨جار در مراحل اولیه شکل‌گیری آنها است (آیکارد و همکاران، ۲۰۱۴). توانایی روش‌های ژئوالکتریکی توموگرافی مقاومت‌ویژه الکتریکی (ERT) و پتانسیل خودزا (SP)، در شناسایی مسیرهای جریان ترجیحی در ارتباط با مکانیسم‌های فرسایش داخلی سدهای باطله، در مطالعات انجام گرفته اثبات شده است (تلفورد و همکاران، ۱۹۸۹).

آلسی و همکاران (۱۹۹۴) از روش پتانسیل خودزا برای تشخیص نشت آب در سدها، استفاده و توانایی این روش را در مکان‌یابی مناطق نشت و تعیین شدت نسبی تخلیه (دشارژ) اثبات کردند. پانتولو و همکارانش (۲۰۰۱) به منظور شناسایی مسیرهای نشت در سدهای خاکی، روش‌های توموگرافی مقاومت‌ویژه الکتریکی و پتانسیل خودزا را به کار برdenد و نشان دادند روش ERT در شناسایی مناطق مساعد برای نشت و روش SP در ترسیم مسیرهای نشت نتایج بسیار خوبی به دست می‌دهد. نتایج

آن گردیده است. منطقه سد باطله نیز از دایک‌های آندزیتی بازالتی تشکیل شده است (واحد زمین‌شناسی و اکتشافات شرکت ملی صنایع مس ایران، ۱۳۷۰). شکل ۲ نقشهٔ زمین‌شناسی شهر بابک و موقعیت کانسار مس میدوک را بر روی آن نشان می‌دهد.



شکل ۱. نقشهٔ راه‌های دسترسی معدن مس میدوک.



شکل ۲. نقشهٔ زمین‌شناسی شهر بابک با مقیاس ۱:۱۰۰۰۰ و موقعیت کانسار مس میدوک بر روی آن (واحد زمین‌شناسی و اکتشافات شرکت ملی صنایع مس ایران، ۱۳۷۷).

۳ مطالعات هیدروشیمی منطقه

به منظور مطالعات هیدروژئولوژی در محدوده سد رسو ب گیر معدن مس میدوک، تعیین پارامترهای کیفی

کردند. در این مطالعه توپوگرافی سطح سنگ بستر به وسیله داده‌های توموگرافی مقاومت ویژه الکتریکی و الگوی ویژگی‌های جریان آب با داده‌های پتانسیل خودزا ترسیم شد و با تفسیر نتایج، وضعیت این سد خاکی به طور کامل مورد بررسی قرار گرفت.

بر این اساس در این پژوهش نیز به‌منظور بررسی وضعیت نشت آب از سد رسو ب گیر معدن مس میدوک، از روش‌های ژئوالکتریکی توموگرافی مقاومت ویژه الکتریکی و پتانسیل خودزا استفاده شده است. با توجه به این که نشت می‌تواند هم در نتیجه تأثیرات زمین‌شناسی و گسل‌خوردگی و هم در اثر نفوذپذیری خود سد از غیر از محل زهکش آن اتفاق افتاده باشد، هدف اصلی این پژوهش، تعیین عامل نشت و نیز بررسی ارتباط هیدرولیکی بین آب موجود در مخزن سد رسو ب گیر و منابع آبی پایین دست سد است.

۲ مطالعات جغرافیایی و زمین‌شناسی منطقه

معدن مس میدوک در ۴۲ کیلومتری شمال‌شرق شهر بابک و ۱۳۲ کیلومتری شمال‌غرب معدن سرچشم، در طول جغرافیایی ۵۵ درجه و ۱۰ دقیقه و عرض جغرافیایی ۳۰ درجه و ۲۵ دقیقه، در استان کرمان واقع شده است. منطقه دارای اقلیم نیمه‌بیابانی و کوهستانی است و سیمای ظاهری آن در اغلب نقاط شامل تپه‌ماهورهای نسبتاً مدوری است که با شبیه ملایم به دره‌های کم‌عمق منتهی می‌گردد (واحد زمین‌شناسی و اکتشافات شرکت ملی صنایع مس ایران، ۱۳۷۰). شکل ۱ موقعیت جغرافیایی کانسار میدوک و نقشهٔ راه‌های دسترسی به منطقه را نشان می‌دهد.

از نظر زمین‌شناسی، کانسار مس میدوک در کمریند فلزیابی - متالوژنی کرمان در زون ارومیه - دختر واقع شده و سنگ‌های سطحی منطقه تماماً از جنس آندزیت است که بالا آمدن توده گرانوڈیوریتی سبب برآمده‌شدن

الکتریکی، با اندازه‌گیری بر روی سطح زمین، به کار می‌رود. در همه برداشت‌های ژئوفیزیکی، هدف تهیه تصویری از زمین بر حسب خصوصیات الکتریکی آن است (نوروزی، ۱۳۹۲). در روش توموگرافی، تصویر الکتریکی با قدرت تفکیک بالا در دو یا سه جهت از ساختار زیرسطحی به دست می‌آید (لوک و بارکر، ۱۹۹۶). در واقع در این روش تصویرهای دو یا سه‌بعدی از تغییرات مقاومت‌ویژه الکتریکی تولید می‌شود که شناخت کامل‌تری از لایه‌ها و ساختارهای زیرسطحی به دنبال دارد (راکر و همکاران، ۲۰۰۹). تغییرات مقاومت‌ویژه الکتریکی در مقطع، مرتبط با تغییرات زمین‌شناسی و سیالات موجود در منافذ و شکستگی‌های زیرسطحی است. معمولاً روش توموگرافی دو بعدی در مقایسه با توموگرافی سه‌بعدی به دلیل سرعت برداشت زیاد و عملیات صحرایی راحت‌تر، کاربرد وسیع‌تری دارد (لنار و همکاران، ۲۰۰۵).

در این روش معمولاً تعدادی الکترود فلزی با فواصل مساوی بر روی یک خط قرار می‌گیرند. در هر قرائت دو الکترود برای تزریق جریان و دو الکترود برای اندازه‌گیری پتانسیل انتخاب می‌شود که با افزایش فاصله بین الکترودها، بررسی‌های عمیق‌تر ممکن می‌شود. عمق بررسی به آرایه الکترودی ارتباط دارد؛ آرایه‌های الکترودی بر اساس هدف کاوش و حساسیت لازم افقی و یا قائم انتخاب می‌شوند (لوک، ۲۰۰۱). از میان تمام آرایه‌ها، آرایه‌های وزن، شولمبرگ و دوقطبی - دوقطبی بیشترین کاربرد را دارند (ورکما و همکاران، ۲۰۰۰).

در تفسیر کفی داده‌های برداشت‌شده، شبهمقاطع مقاومت‌ویژه ظاهری تهیه می‌گردد. شبهمقاطع از کنار هم قراردادن مقاومت‌ویژه‌های ظاهری به دست می‌آید. مقاومت‌ویژه ظاهری نیز از حاصل ضرب مقاومت‌ویژه الکتریکی در فاکتور هندسی آرایه الکترودی محاسبه می‌شود (لوک، ۲۰۰۱). مرحله نهایی در تفسیر داده‌های

آب و نیز بررسی آلدگی احتمالی در منابع پایین دست سد رسوب‌گیر، از منابع آبی منطقه (شامل چشمه‌ها، آب‌های سطحی و آب‌های عمقی) نمونه‌برداری به عمل آمد و در مجموع ۲۴ نمونه از ۲۲ ایستگاه جمع‌آوری گردید. این نمونه‌ها مطابق استانداردهای هیدروشیمی تهیه و نگهداری و آنالیز شد. مقادیر اسیدیته (pH)، هدایت الکتریکی (Conductivity) و غلظت آنیون‌ها و کاتیون‌های اصلی موجود در آب در آنالیز شیمیابی نمونه‌ها تعیین گردید. پس از آن نتایج آنالیز صحت‌سنگی شد و مقدار خطای آنالیز کمتر از ۵ درصد به دست آمد. به عنوان مثال، نتایج آنالیز نمونه‌های مربوط به محل‌های نشت مستقیم از سد رسوب‌گیر و چشمه‌های روبه‌روی سد که ارتباط بیشتری با موضوع بحث حاضر دارند، در جدول ۱ آورده شده است. چنان‌چه مشخص است در تمام نمونه‌ها غلظت یون سولفات بسیار زیاد است؛ بررسی‌های تکمیلی‌تر نشان داد تمام نمونه‌های آب برداشت‌شده در اطراف سد باطله معدن دارای تیپ سولفاته هستند.

به منظور ارزیابی بهتر نتایج آنالیز و پردازش مکانی پارامترهای شیمیابی در محدوده مورد مطالعه، اقدام به رسم نقشه‌های هم میزان و مطالعات گرافیکی بر روی نمونه‌ها گردید. با توجه به نتایج تفسیرها، کیفیت نمونه‌های آب برداشت‌شده از محل‌های نشت مستقیم از سد رسوب‌گیر، بسیار نزدیک و شیوه به کیفیت آب موجود در چشمه‌های روبه‌روی سد است؛ در جدول ۱ نیز با مقایسه نتایج آنالیز نمونه‌ها، این مسئله قابل تشخیص است. این موضوع وجود نشت از سد رسوب‌گیر به سمت چشمه‌ها و ورود آن به منابع آب زیرزمینی منطقه پایین دست را تأیید می‌کند.

۴ روش توموگرافی مقاومت‌ویژه الکتریکی
توموگرافی مقاومت‌ویژه الکتریکی یک روش ژئوفیزیکی است که برای تعیین توزیع زیرسطحی مقاومت‌ویژه

جدول ۱. نتایج آنالیز شیمیایی تعدادی از نمونه های آب منطقه سد رسوب گیر معدن مس میدوک (S1 و S2) مربوط به چشمehا روبه روی سد رسوب گیر و S3 و S4 مربوط به محل های نشت مستقیم از سد هستند. موقعیت این نمونه ها به صورت نمادهای مثلثی در شکل های ۶ و ۷ نشان داده شده است).

| MEASURING UNIT | | $\mu\text{s}/\text{cm}$ | ppm | ppm | ppm | ppm | Ppm | Ppm | Ppm |
|----------------|-----|-------------------------|------------------|------------------|--------------------|---------------|--------------|------------------|-----------------|
| SAMPLE NAME | pH | Conductivity | Ca^{2+} | Mg^{2+} | So_4^{2-} | Na^+ | K^+ | HCO_3^- | NO_3^- |
| S1 | ۷/۶ | ۱۸۷۱ | ۳۰۱ | ۵۱۳ | ۹۱۴ | ۱۴۰ | ۴۰ | ۶۲/۳ | ۷/۷ |
| S2 | ۷/۷ | ۱۹۴۲ | ۳۰۷ | ۵۶۰ | ۹۲۰ | ۱۴۰ | ۴۰ | ۶۲/۴ | ۷/۷ |
| S3 | ۷/۵ | ۲۰۵۳ | ۳۱۸ | ۶۳۰ | ۱۰۲۴ | ۱۳۰ | ۵۰ | ۶۱/۱ | ۷/۷ |
| S4 | ۷/۵ | ۲۰۶۲ | ۳۲۴ | ۵۸۰ | ۱۰۲۶ | ۱۳۰ | ۵۰ | ۶۱/۱ | ۷/۷ |

وضعیت آب های زیرزمینی دارد (آیکاردن و همکاران، ۲۰۱۴)، بنابراین در این پژوهش به عنوان اولین روش در بررسی وضعیت سد رسوب گیر به کار گرفته شده است.

۱-۴ عملیات صحرایی و برداشت داده های ERT
برداشت داده های توموگرافی مقاومت ویژه الکتریکی با استفاده از دستگاه ژئوالکتریک WDDS-2 با قدرت ۳۵۰۰ وات و کابل هوشمند جهت برداشت نیمه اتوماتیک مقاومت ویژه الکتریکی، در محدوده سد رسوب گیر معدن مس میدوک انجام گرفت. بر اساس بازدید صحرایی از منطقه اطراف سد و مشاهده مناطق نشت احتمالی مانند چشمehا، دره های عمیق تری که سازنده را قطع کردند و ...، راستای پروفیل ها انتخاب گردید. بر این اساس پروفیل ها به موازات یال شرقی و اصلی سد رسوب گیر و نیز عمود بر یال شرقی انتخاب شدند. بدین ترتیب داده ها با استفاده از آرایه دوقطبی - دوقطبی در طول سه پروفیل ۲۰۰ متری با فواصل الکترودی ۱۰ متر و یک پروفیل ۴۰۰ متری با فاصله الکترودی ۲۰ متر و ۱۱ از ۱ تا ماکریم ۱۲ برداشت شد. همه حالت مختلط از چهار الکترود انتخابی در آرایه، یک سکانس اندازه گیری را تشکیل می دهد و منظور از ۱۱ تعداد سکانس های اندازه گیری است. دلیل انتخاب فاصله الکترودی بالا در پروفیل ۴۰۰ متری، نفوذ به عمق بیشتر و بررسی روند تغییرات در لایه های زیرسطحی بوده است. اما سه پروفیل دیگر به دلیل نزدیک بودن به محل های نشت و اهمیت بیشتر، به منظور

مقاومت ویژه الکتریکی دو بعدی، وارون سازی است. به منظور تهیه تصویری از توزیع مقاومت ویژه واقعی زیرسطحی باید به وارون سازی داده های مقاومت ویژه الکتریکی پرداخت. از میان نرم افزارهای وارون سازی، Res2DInv کاربرد زیادی یافته است (قربانی و همکاران، ۱۳۹۳). در مجموع، روش توموگرافی مقاومت ویژه الکتریکی کاربرد گسترده ای در مطالعات هیدروژئوفیزیک، مطالعات زیست محیطی و بررسی وضعیت آب های زیرزمینی دارد (آیکاردن و همکاران، ۲۰۱۴)، بنابراین در این پژوهش به عنوان اولین روش در بررسی وضعیت سد رسوب گیر به کار گرفته شده است.

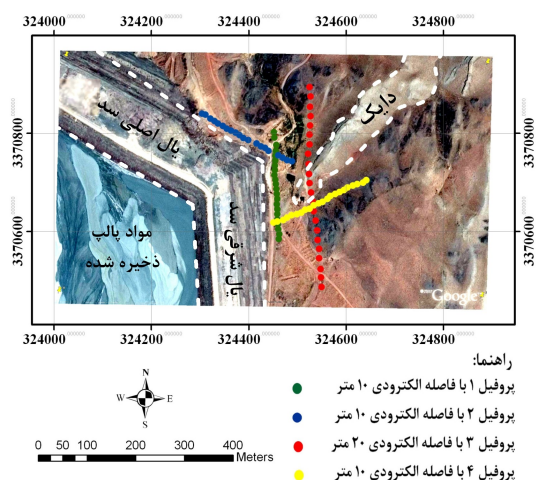
در تفسیر کیفی داده های برداشت شده، شب مقاطع مقاومت ویژه ظاهری تهیه می گردد. شب مقاطع از کنار هم قراردادن مقاومت ویژه های ظاهری به دست می آید. مقاومت ویژه ظاهری نیز از حاصل ضرب مقاومت ویژه الکتریکی در فاکتور هندسی آرایه الکترودی محاسبه می شود (لوک، ۲۰۰۱). مرحله نهایی در تفسیر داده های مقاومت ویژه الکتریکی دو بعدی، وارون سازی است. به منظور تهیه تصویری از توزیع مقاومت ویژه واقعی زیرسطحی باید به وارون سازی داده های مقاومت ویژه الکتریکی پرداخت. از میان نرم افزارهای وارون سازی، Res2DInv کاربرد زیادی یافته است (قربانی و همکاران، ۱۳۹۳). در مجموع، روش توموگرافی مقاومت ویژه الکتریکی کاربرد گسترده ای در مطالعات هیدروژئوفیزیک، مطالعات زیست محیطی و بررسی

حداقل می‌گردد (کمترین مربعات خط). در واقع روش وارونسازی حداقل مربعات سعی در مینیمم کردن مربع اختلاف بین مقادیر مقاومت ویژه ظاهری محاسبه شده و اندازه گیری شده دارد. در این فرآیند تکراری، مدل اولیه عموماً نیم فضای هموژن است و مدل نهایی معمولاً در کمتر از ۵ تکرار به دست می‌آید. در نهایت مقطع مقاومت ویژه واقعی، وضعیت ناهمگن مقاومت ویژه زیرسطحی را نشان می‌دهد (قربانی و همکاران، ۱۳۹۳).

عملیات مدل‌سازی معکوس تغییرات پارامترهای مدل را با حل رابطه ۱ مشخص می‌کند (لوک، ۲۰۰۱):

$$\begin{aligned} (J^T J + uF) d &= J^T g \\ F = f_x f_x^T + f_z f_z^T, \end{aligned} \quad (1)$$

که J ماتریس مشتقات جزئی، u فاکتور رطوبت، d بردار جابه‌جایی مدل، g بردار اختلافات، f_x فیلتر هموارسازی افقی و f_z فیلتر هموارسازی عمودی است.



شکل ۳. موقعیت پروفیل‌های توموگرافی مقاومت ویژه الکتریکی نسبت به یکدیگر و نسبت به محل فرآیند گیری سد رسوب‌گیر بر روی تصویر گوگل ارث (به جز موارد مشخص شده بر روی شکل، تمام محدوده از جنس آندازیت است؛ رنگ‌های تیره‌تر آندازیت متخلخل تر را نشان می‌دهند).

بدین ترتیب برای هر پروفیل دو شبه‌مقطع مقاومت ویژه ظاهری و یک مدل بلوکی مقاومت ویژه الکتریکی

کسب جزئیات دقیق در نقاط نزدیک‌تر به سطح زمین، با فاصله الکتروودی ۱۰ متر برداشت شدند. طول کل پروفیل‌های برداشت شده در مجموع یک کیلومتر است. این پروفیل‌ها با نام‌های P4 تا P1 مشخص شده‌اند و مشخصات آن‌ها در جدول ۲ ارائه شده است. شکل ۳ نیز موقعیت چهار پروفیل برداشت شده را نسبت به هم و نسبت به محل فرآیند گیری سد رسوب‌گیر نشان می‌دهد.

جدول ۲. مشخصات پروفیل‌های توموگرافی مقاومت ویژه الکتریکی و ایستگاه‌های برداشت.

| ایستگاه‌ها | تعداد | امتداد | فاصله | طول پروفیل | نام | پروفیل |
|------------|-------|--------|-------|------------|-----|--------|
| P1 | ۲۱ | N-S | ۱۰ | ۲۰۰ | | |
| P2 | ۲۲ | NW-SE | ۱۰ | ۲۰۰ | | |
| P3 | ۲۲ | N-S | ۲۰ | ۴۰۰ | | |
| P4 | ۲۲ | NE-SW | ۱۰ | ۲۰۰ | | |

۲-۴ تفسیر داده‌های توموگرافی الکتریکی

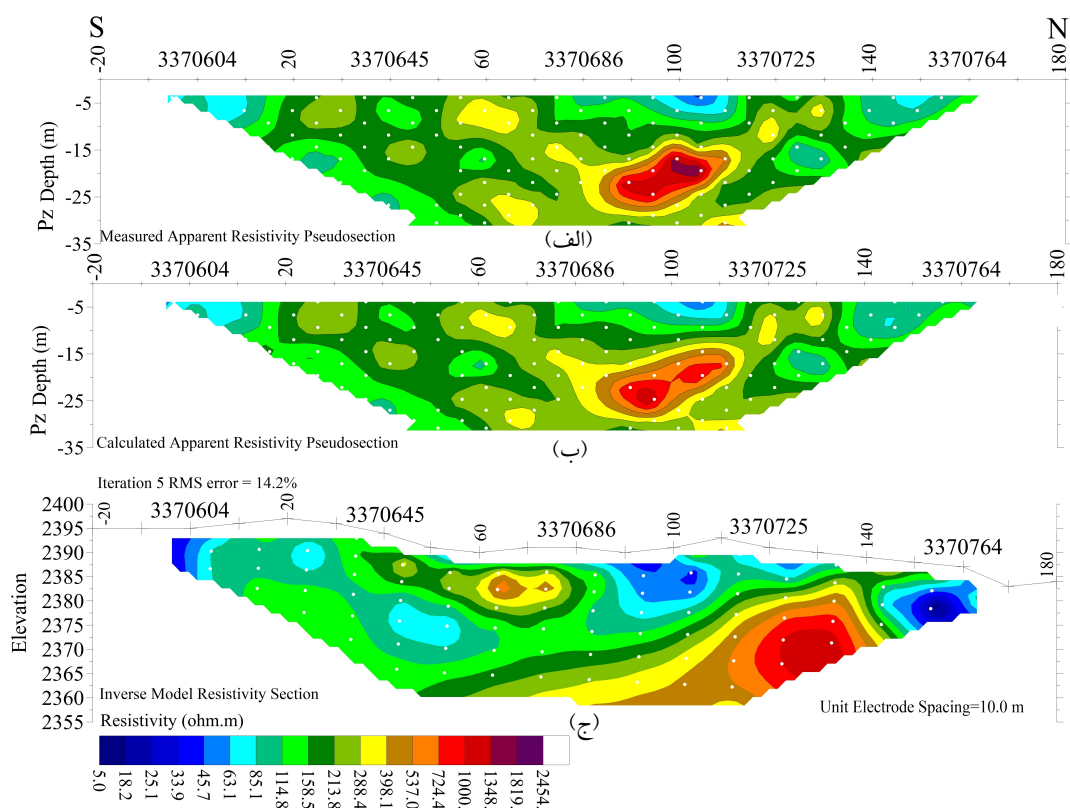
پس از آماده‌سازی داده‌ها و حذف داده‌های پرت و غیرمعتارف، کلیه داده‌های خام مقاومت ویژه ظاهری برداشت شده، به منظور ترسیم اولیه شبه‌مقاطع مقاومت ویژه، وارد نرم‌افزار Res2DInv شد. در این نرم‌افزار به منظور تفسیر کمی داده‌ها، از عملیات مدل‌سازی معکوس با روش کمترین مربعات خط استفاده شد. در فرآیند وارونسازی، به دنبال مدل ریاضی هستیم، به طوری که مقاومت ویژه‌های ظاهری محاسبه شده از مدل و اندازه گیری شده کمترین اختلاف را داشته باشند. هسته اصلی برنامه وارونسازی مدل مستقیم است. مدل‌سازی مستقیم ارتباط ریاضی بین پارامترها و پاسخ مدل (مقادیر ویژه ظاهری) است. برای حل مدل مستقیم از روش‌های عددی تفاضل محدود یا اجزای محدود استفاده می‌شود. مدل مستقیم در یک فرآیند تکراری قرار می‌گیرد که طی آن ریشه مربعات اختلاف داده‌ها و مدل

مقاومت ویژه به دو دسته آندزیت مقاوم با مقاومت ویژه بیشتر از ۶۰۰ اهمتر و آندزیت کمتر مقاوم با مقاومت ویژه کمتر از ۶۰۰ اهمتر تقسیم می شود. زون های با مقاومت ویژه کم می توانند با فرآیند آلتره شدن، خردشده گی یا وجود آب در ارتباط باشند. در واقع با توجه به مشاهدات صحرایی می توان گفت آندزیت مقاوم به آندزیت بکر و آندزیت کمتر مقاوم به آندزیت آلتره شده نزدیک است.

پروفیل P1 (شکل ۵-الف) به موازات یال شرقی سد رسوب گیر برداشت شده است. چنانچه گفته شد از نظر زمین شناسی در کل منطقه آندزیت وجود دارد، بر این اساس در این مقطع یک زون آندزیت مقاوم و یک زون آندزیت کمتر مقاوم تشخیص داده شده است. حدفاصل

به دست آمده از مدل سازی معکوس، ترسیم گردید. به منظور کاهش خطای مدل سازی، مقادیر داده های پرت در هر چهار پروفیل، حذف شد و عمل مدل سازی معکوس مجدداً انجام گرفت و به این ترتیب مقدار خطای مدل سازی به مقدار قابل قبولی کاهش یافت. به عنوان نمونه، در شکل ۴ شبیه مقاطع نهایی تولید شده توسط نرم افزار برای پروفیل P1 نمایش داده شده است. پس از ترسیم شبیه مقاطع و اعمال اثر توپو گرافی بر روی مقاطع مدل سازی شده، تفسیر پروفیل ها انجام گرفت؛ در ادامه نتایج حاصل از آنها آورده شده است.

لازم به ذکر است از نظر زمین شناسی کلی منطقه، از سطح به عمق آندزیت وجود دارد که بخشی از آنها توسط دایک ها قطع شده اند. این آندزیت بر اساس مقدار



شکل ۴. شبیه مقاطع و مقطع مدل سازی شده پروفیل P1 در راستای شمالی جنوبی با فاصله الکترودی ۱۰ متر. (الف) شبیه مقاطع مقاومت ویژه مشاهداتی؛ (ب) شبیه مقاطع مقاومت ویژه ظاهری محاسباتی؛ (ج) مقطع مقاومت ویژه الکتریکی (از هر دو مختصات یوتی ام و محلی در شکل استفاده شده است. نقاط سفید رنگ موجود در شبیه مقاطع شکل نیز نقاط برداشت هستند).

یک زون آندزیت مقاوم و یک زون آندزیت کمتر مقاوم تشخیص داده شده است. ابتدای این پروفیل زونی مرتبط با مقاومت ویژه کم نمایان شده که بر اساس مشاهدات صحرایی می‌تواند به علت درختکاری و آبیاری درختان در این ناحیه باشد. در محدوده بین الکترودهای ۱۴۰ تا ۲۰۰ مجدداً همان دایک عمیق موجود در پروفیل P1 ظاهر شده که بر اساس پیمایش‌های زمین‌شناسی تشخیص داده شده است. در تصاویر ماهواره‌ای نیز وجود آن با همین مشخصات و به صورت خطواره‌ای با رنگ روشن‌تر و ظاهری برآمده‌تر از محدوده اطراف قابل مشاهده است. بین الکترودهای ۲۶۰ تا ۳۲۰ زون سطحی خشک و مقاوم است، در صورتی که مقادیر مقاومت ویژه در عمق، در رنج مقاومت ویژه زون آبدار، یعنی حدود ۳۰ اهمتر قرار دارد. در این ناحیه افتادگی زمین‌شناسی نیز قابل مشاهده است. این زون ممکن است در برگیرنده آندزیت باشد که در اثر گسل خوردگی خرد شده است و از این رو آب قابلیت نفوذ بیشتری درون آن یافته و باعث کم شدن مقاومت ویژه آن تا حدود ۳۰ اهمتر گردیده است. به علاوه، ممکن است سطح ایستابی واقعی منطقه بر روی این زون قرار گرفته باشد و از آنجا که این زون خردشده بوده و زیر سطح ایستابی واقع شده است، مقاومت ویژه پایینی را نشان می‌دهد. در نهایت، این زون، به عنوان یک زون خردشده و آبدار تفسیر شده است.

پروفیل P4 (شکل ۵-د) تقریباً عمود بر یال شرقی سد رسوب گیر و پروفیل‌های P1 و P3 برداشت شده است. این مقطع در محدوده بین الکترودهای ۲۰ تا ۸۰، یک زون خردشده سطحی آبدار را نشان می‌دهد. با توجه به چشمۀ مشاهده شده در نزدیکی پروفیل برداشت شده، حضور این زون مورد انتظار است. بر اساس زمین‌شناسی غالب منطقه که آندزیت است، به نظر می‌رسد محدوده مورد مطالعه کاملاً سخت، محکم و ناتراوا است که در بعضی نواحی به صورت موضعی خرد و از آب پر شده است. بنابراین

۱۰۰ الکترودهای ۱۰ تا ۳۰ نیز دایکی با مقاومت ویژه حدود ۱۵۰ اهمتر ظاهر شده است که تصاویر ماهواره‌ای نیز وجود آن را تأیید می‌کند. انتهای مقطع در نزدیکی دره و زمین کشاورزی واقع شده است که چون زمین آن دست‌خورده و آبدار بوده، به صورت زونی با مقاومت ویژه پایین ظاهر شده است. در محدوده بین دو الکترود ۹۰ و نیز زونی آبی‌رنگ با مقاومت ویژه کم با گسترش طولی و عمق تقریبی ۱۰ متر وجود دارد که می‌تواند حاکمی از حضور آب باشد. بر اساس مشاهدات صحرایی، این محدوده منطبق بر محل نشت سد رسوب‌گیر است که چون با آب در تماس است، مقاومت ویژه کمی دارد و در مقطع به وضوح دیده می‌شود. با توجه به وجود نشت در سطح و پایین‌رفتن این زون به صورت قائم، احتمالاً در این محل یک زون گسله یا خردشده وجود دارد. در نتیجه احتمالاً ساختار سد عامل نشت نیست، بلکه عوامل زمین‌شناسی و وجود زون خردشده در زیر سد عامل نشت می‌باشد.

پروفیل P2 (شکل ۵-ب) به موازات یال اصلی سد رسوب‌گیر است. با توجه به اینکه این پروفیل در ادامه پروفیل P1 است، بنابراین باید انتهای پروفیل P1 و ابتدای پروفیل P2 شبیه به هم باشند. با توجه به شکل ۵ نواحی مورد نظر کاملاً با یکدیگر هم خوانی دارند. محدوده مورد مطالعه در این مقطع کاملاً از جنس آندزیت بوده و هر دو نوع آندزیت مقاوم و کمتر مقاوم در آن مشاهده می‌شود. بین الکترودهای ۱۵۰ تا ۱۸۰، زونی با رنج مقاومت ویژه آب ظاهر شده است. در تصاویر ماهواره‌ای نیز در این بخش خردشده‌گی و ریزش وجود دارد که می‌تواند مرتبط با یک شکستگی باشد. بنابراین پیش‌بینی می‌شود با افزایش سطح آب و رسوبات در پشت سد، نشت در این قسمت نیز اتفاق بیفتد.

پروفیل P3 (شکل ۵-ج) به موازات پروفیل P1 و یال شرقی سد رسوب‌گیر برداشت شده است. در این مقطع نیز

طبيعي دارد (آيکارд و همكاران، ۲۰۱۴). خطوط برداشت در اين روش نيز مانند ديگر روش های ژئوفيزيکي، عمود بر امتداد هدف هاي مورد نظر يا ساختار هاي زمين شناسی انتخاب مي شود. به دليل تغييرات SP با تopoگرافی منطقه مورد بررسی، بهتر است تا حد امكان از خط برداشت با تغييرات ارتفاعی کم استفاده شود (نوروزی، ۱۳۹۲). فاصله ايستگاه ها نيز معمولاً بين ۳-۳۰ متر در نظر گرفته می شود (تلفورد و همكاران، ۲۰۰۴).

در مطالعات SP به طور معمول دو پaramتر را اندازه گيري می کنند که نيازمند دو آرایش الکترودي متغروت است؛ يكی گراديان پتانسیل و ديگري شدت يا دامنه پتانسیل. پaramتر دامنه پتانسیل که در اين پژوهش اندازه گيري شده است، با در نظر گرفتن يكی از الکترودها به طور ثابت در نقطه ای خارج از محدوده بی هنجاري احتمالي SP و جابه جایی الکترود ديگر در محدوده اكتشافي، بر حسب ميلی ولت اندازه گيري می شود (آيکارد و همكاران، ۲۰۱۴). در اين پژوهش از اين روش به منظور تعیین و به نقشه در آوردن مسیر نشت از سد رسوب گير استفاده شده است.

۱-۵ عملیات صحرايی و برداشت داده های SP
برداشت داده های پتانسیل خودزا در آذر ماه ۱۳۹۴ طی سه روز عملیات صحرايی با استفاده از يك جفت الکترود غيرپلازما مس- سولفات مس، کابل و ولت متری با دقت ۰/۱ ميلی ولت انجام گرفت. به منظور عملیات برداشت، ۷ پروفیل به فاصله حدوداً ۱۰ متر از يكديگر و با فاصله ايستگاهی ۱۰ متر، به موازات دیواره سد رسوب گير در راستاي عمود بر امتداد احتمالي آنومالي پتانسیل خودزا، در نظر گرفته شد. برای اينکه برداشت SP کل محدوده بین سد رسوب گير تا چشمء رو به روی آن را پوشش دهد، محل اولين پروفیل در کنار دیواره سد و محل آخرین پروفیل بعد از چشمء انتخاب شد. جهت برداشت داده ها،

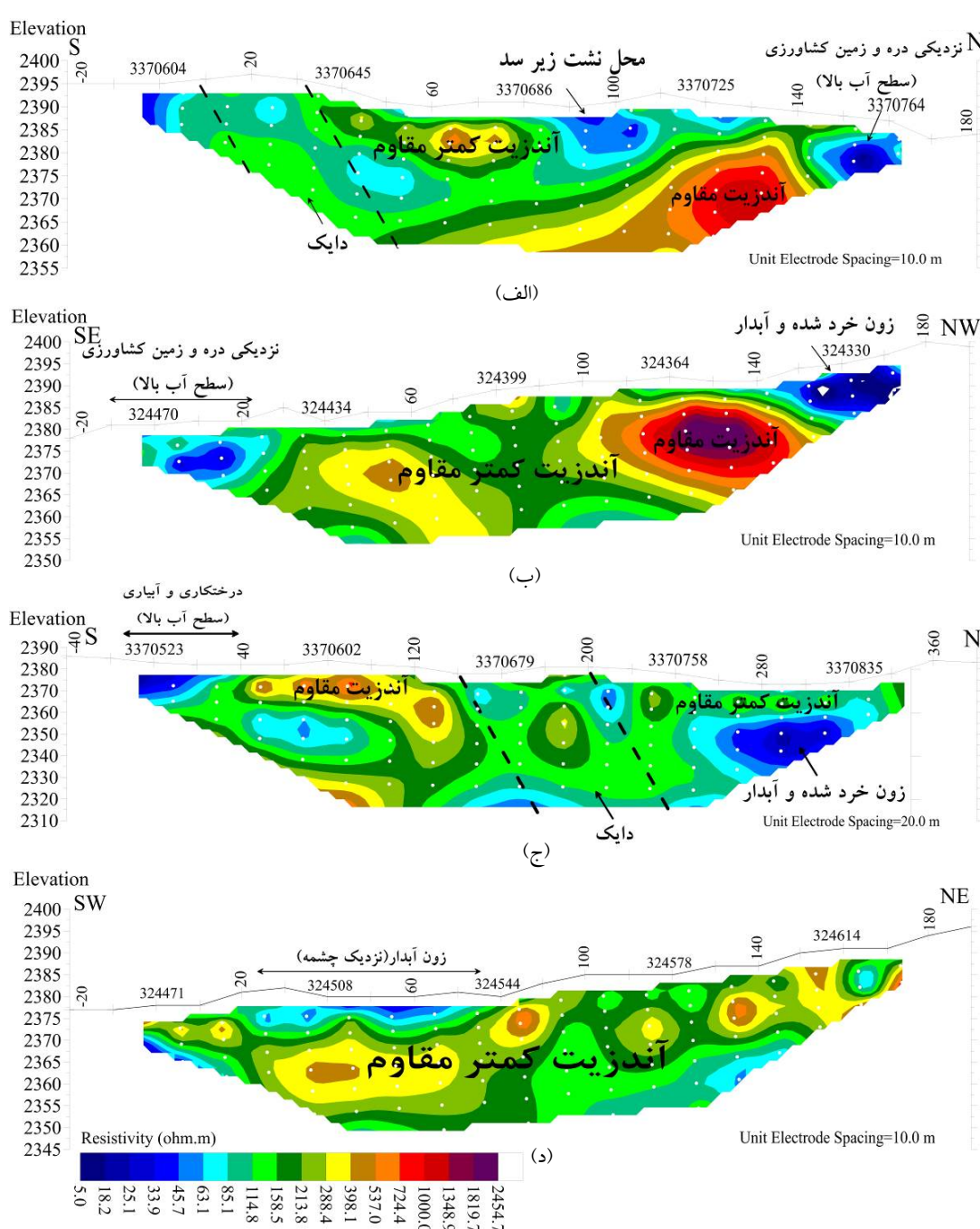
مي توان گفت زون های آبدار موجود در منطقه، شکستگی های کوچکی هستند که با آب پر شده اند. با توجه به اطلاعات زمين شناسی، غير از اين زون آبدار، سراسر اين مقطع آندزیت کمتر مقاوم را نشان می دهد. رخنمون های زمين شناسی نيز آلتربودن را تأييد می کنند.

۵ روش پتانسیل خودزا

در مطالعات ژئوفيزيکي مرتبط با تراوش از سدها، روش پتانسیل خودزا به طور طبيعی يك روش مکمل برای توموگرافی مقاومت ویژه الکتریکی محسوب می شود (آيکارد و همكاران، ۲۰۱۴). اين روش همان طور که از نام آن پيدا است، بر اساس اندازه گيري اختلاف پتانسیل طبيعی ايجاد شده از واکنش های شيميايی داخل زمين پايه ريزی شده است (عبدالرحمان و العربي، ۱۹۹۷). مقدار پتانسیل خودزاي ايجاد شده معمولاً از کمتر از يك ميلی ولت تا صدها ميلی ولت متغير است (مارتي و هاريچاران، ۱۹۸۵). اين روش يك تكنيك ژئوفيزيکي است که مستقیماً به جريان آب زيرز ميني حساس است. در واقع جريان آب در زمين باعث ايجاد پتانسیل های خودزا می شود و به همين دليل، روش SP در مطالعات هيدروژئولوژيکي مورد توجه فراوان قرار دارد (آيکارد و همكاران، ۲۰۱۴). مثال های زيادي از کاريبد اندازه گيري های SP در مسائل مرتبط با هيدروژئولوژي وجود دارد که از جمله آنها می توان به بررسی نشت آب در محل سدها، به نقشه در آوردن جريان نشت مربوطه، تراوش آب های زيرز ميني شيرين از گراول های کوارتزی و مطالعه حرکت آب ها ياد کرد (رينولدز، ۲۰۰۰). يكی از ویژگی های روش SP اجرای ساده و کم هزینه بودن آن در مقایسه با ديگر روش های ژئوفيزيکي است (نوروزی، ۱۳۹۲)؛ چرا که برداشت SP تنها نياز به يك ولت متر با امپدانس داخلی بالا ($M\Omega >$)، يك حلقه کابل و دو الکترود غيرپلازما برای اندازه گيري ولتاژ های

ایستگاه مبنا و سایر ایستگاه‌های برداشت در شکل ۶ نشان داده شده است.

روش دامنه پتانسیل انتخاب و یک ایستگاه مبنا در محلی خارج از بی‌هنجری احتمالی در نظر گرفته شد. محل



شکل ۵. مقاطع نهایی مدل‌سازی شده پروفیل‌ها با توجه به تغییرات ارتفاعی هر پروفیل؛ (الف) پروفیل P1. (ب) پروفیل P2. (ج) پروفیل P3. (د) پروفیل P4. (به منظور راحتی در مقایسه نتایج با نتایج پتانسیل خودزا، از هر دو مختصات محلی (اعدادی مانند ۲۰ و ۲۰- که موقعیت الکتروودها را بر اساس فاصله الکتروودی نمایش می‌دهند) و یو تی ام (اعدادی مانند ۳۷۰۶۰۴ که در سیستم WGS 98 تعیین شده‌اند) استفاده شده است. دایک‌های مشخص شده در مقاطع بر اساس پیمایش‌های زمین‌شناسی و تصاویر گوگل ارث تشخیص داده شده است. راهنمای رنگی نیز با تفکیک لگاریتمی برای همه مقاطع یکسان تهیه شده است).

چیزی شبیه مسیر جریان در گوشه سمت چپ بالای نقشه نیز نمایان شده که منطبق بر محلی است که در پروفیل P2 توموگرافی مقاومت ویژه الکتریکی، به صورت زون آبدار مشاهده شد و پیش‌بینی شد با افزایش سطح آب و رسوبات در پشت سد رسوب گیر، نشت سطحی در این نقطه نیز اتفاق خواهد افتاد. با توجه به شکل ۷، نتایج حاصل از برداشت SP نیز این مسئله را تأیید می‌کند.

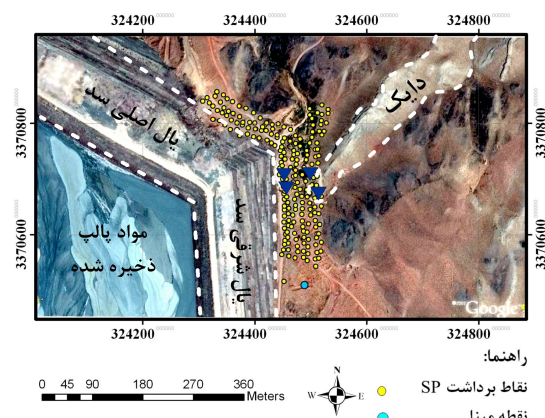
با توجه به تشابه نتایج آنالیزهای هیدروشیمی نمونه‌های آب برداشت شده از محل‌های نشت مستقیم از سد و چشممه‌های رو به روی سد، می‌توان نتیجه‌گیری کرد که احتمالاً منشأ تغییرات SP در تغییرات الکتروشیمیایی سیال و محیط آن کمتر اهمیت دارد و تغییرات SP بیشتر مرتبط با پتانسیل الکتروسینتیک و به عبارتی اختلاف ارتفاع آب در پشت سد و پایین دست سد است. وجود آنومالی مثبت SP در خروجی آب (پایین دست سد) می‌تواند معرف این امر باشد (برای مثال آیکاردن و همکارانش، ۲۰۱۵).

۶ بحث

به منظور تشخیص هم‌خوانی یا عدم هم‌خوانی مسیرهای جریان نشان داده شده در نقشه SP با محل‌های دارای مقاومت ویژه کم و به عبارتی زون‌های آبدار در مقاطع توموگرافی مقاومت ویژه الکتریکی، نتایج SP و ERT با یکدیگر مقایسه شد. شکل ۸ موقعیت پروفیل‌های برداشت توموگرافی مقاومت ویژه الکتریکی را نسبت به نقشه هم‌پتانسیل حاصل از برداشت SP نشان می‌دهد. انطباق نتایج نیز در شکل‌های ۹ تا ۱۲ برای هر پروفیل به صورت جداگانه آورده شده است. انطباق نتایج حاصل از دو روش، تأییدی بر وجود نشت آب از یال شرقی سد رسوب گیر معدن مس میدوک به سمت چشممه‌های رو به روی سد و منابع آبی پایین دست سد است؛ به علاوه نشان می‌دهد در صورت بالا آمدن سطح آب و رسوبات

۲-۵ تفسیر داده‌های SP

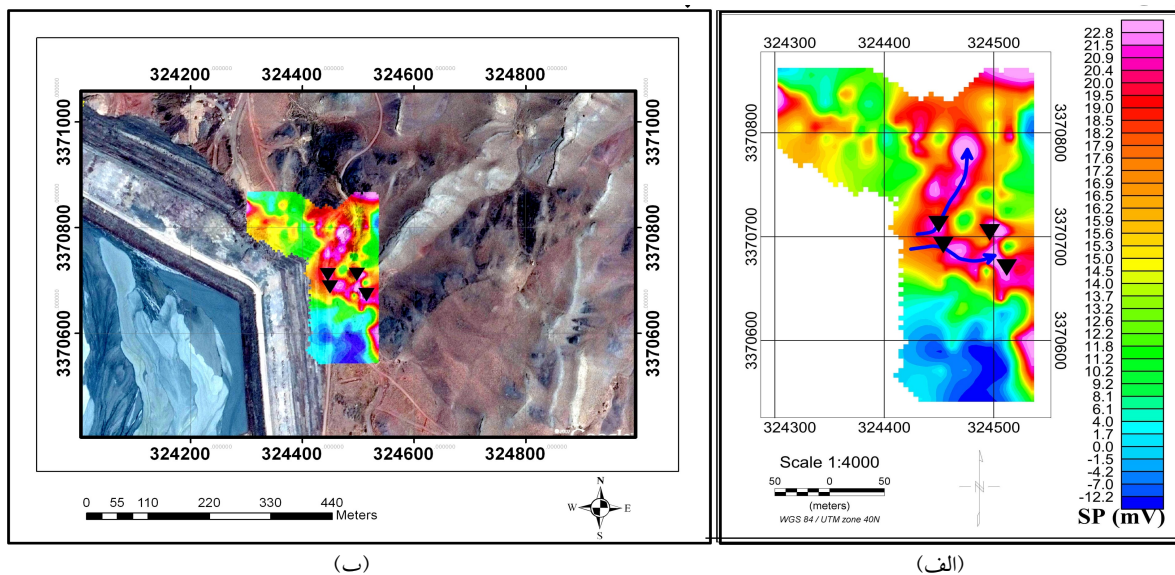
تعداد ۲۰۸ داده پتانسیل خودزا برداشت شد و با استفاده از نرم‌افزار Geosoft نقشه هم پتانسیل آن‌ها ترسیم گردید (شکل ۷-الف). چنان‌چه ملاحظه می‌شود، مقادیر SP برداشت شده از ۱۲-تا +۲۳ میلی‌ولت متغیر هستند. این مقادیر به اختلاف هد هیدرولیکی ارتباط پیدا می‌کنند. رنگ‌های قرمز و یاسی، مقادیر آنومالی مثبت SP و به عبارتی محل خروج آب و وجود نشت را نشان می‌دهند. با توجه به این مقادیر، دو مسیر جریان به وضوح در نقشه SP تشخیص داده شده است. به منظور بررسی هم‌خوانی یا عدم هم‌خوانی این مسیرهای جریان با شرایط و زمین‌شناسی منطقه، نقشه هم‌پتانسیل حاصل بر روی نرم‌افزار گوگل ارث جانمایی گردید (شکل ۷-ب).



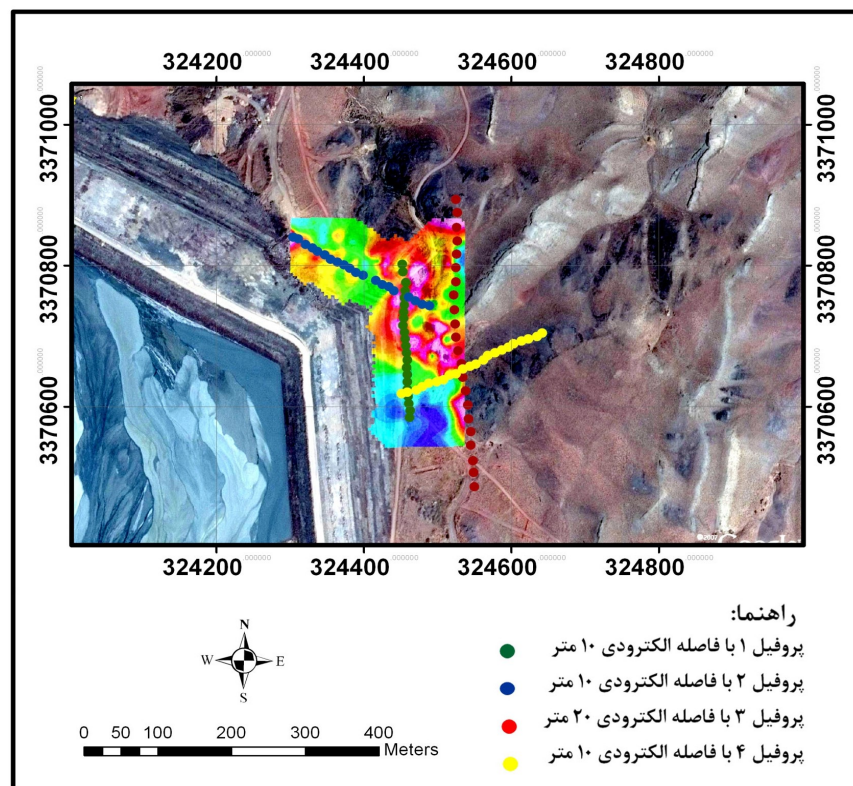
شکل ۶. موقعیت ایستگاه‌های برداشت پتانسیل خودزا (نمادهای مثلثی محل‌های نشت مستقیم از سد و محل چشممه‌های رو به روی سد را نشان می‌دهند).

با توجه به نمادهای مثلثی موجود در شکل، که محل‌های نشت مستقیم از سد و محل چشممه‌های رو به روی سد را نشان می‌دهند، مسیرهای جریان دقیقاً از محل نشی‌های سد شروع شده و به سمت چشممه‌های رو به روی سد و منابع آبی پایین دست در جریان هستند. بر این اساس، ارتباط آب مخزن سد رسوب گیر و منابع آبی پایین دست سد اثبات گردید.

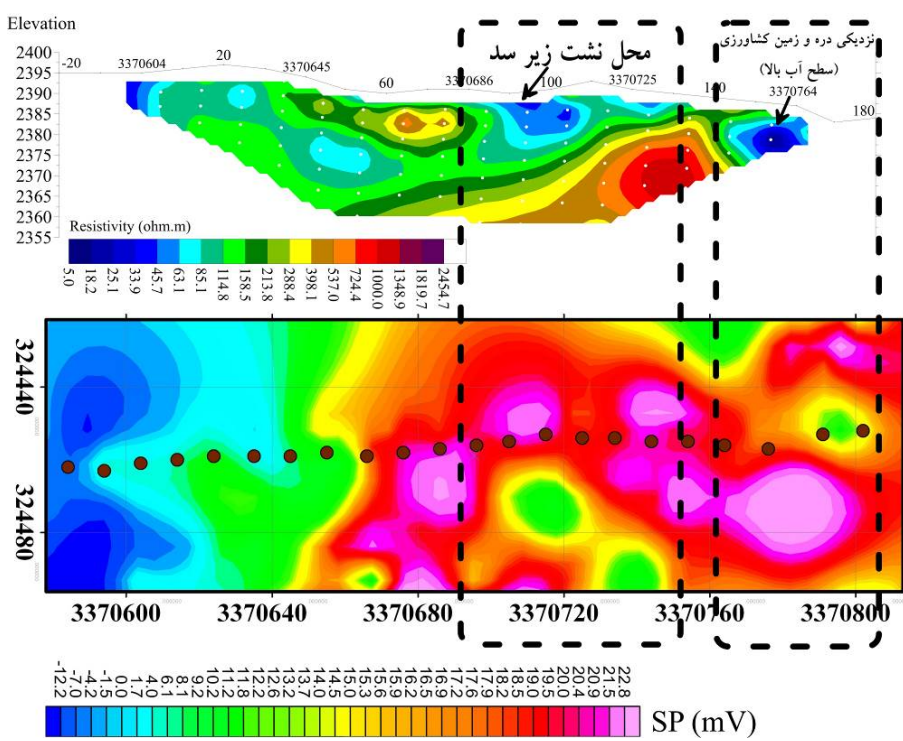
در پشت سد رسوب‌گیر، نشت در یال اصلی سد نیز اتفاق خواهد افتاد.



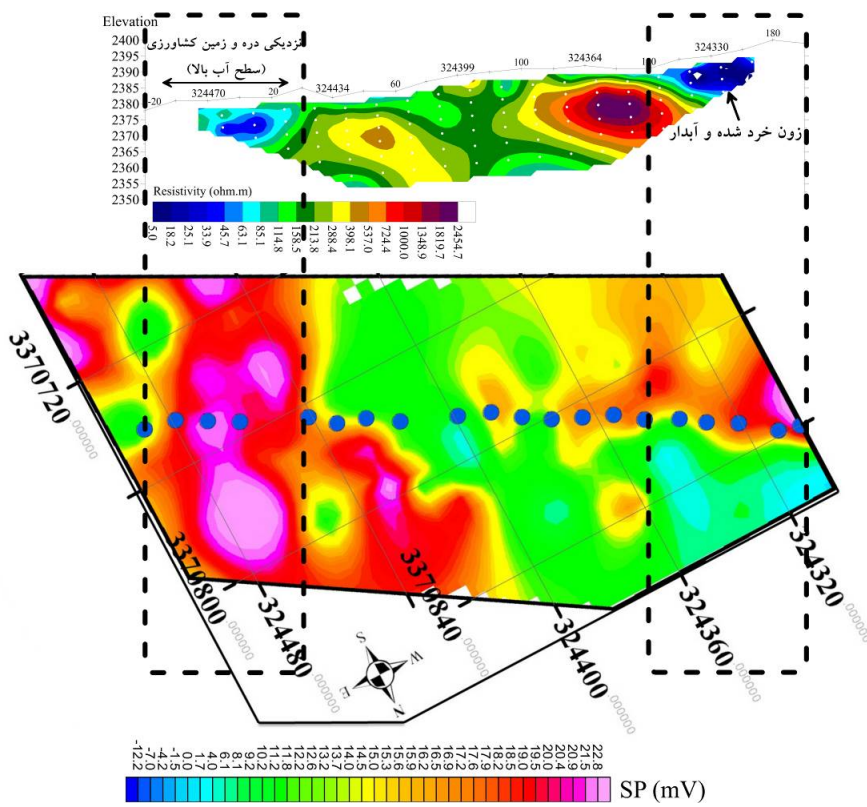
شکل ۷. (الف) نقشه همپتانسیل حاصل از داده‌های برداشت شده پتانسیل خودزا. (ب) جانمایی نقشه همپتانسیل بر روی نرم‌افزار گوگل ارث (نمادهای مثلثی محل‌های نشت مستقیم از سد و محل چشممه‌های روبه‌روی سد را نشان می‌دهند).



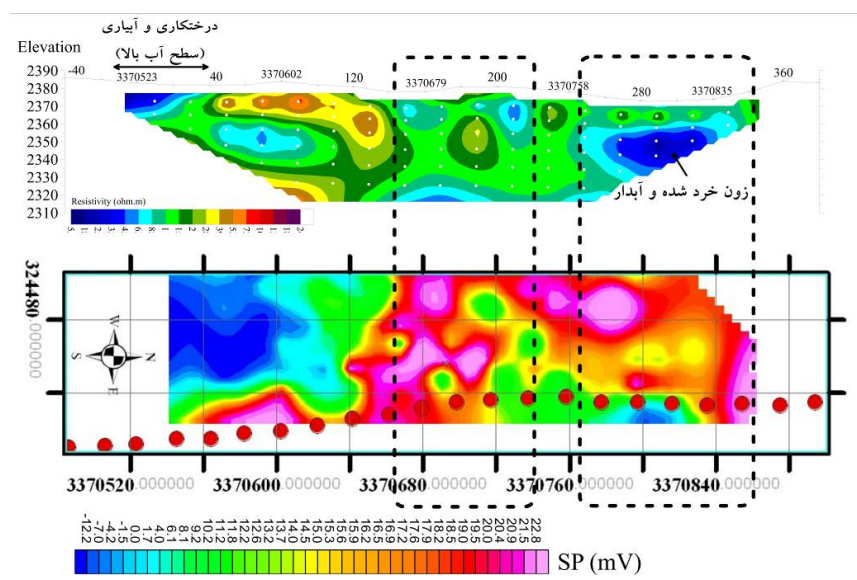
شکل ۸. نمایش موقعیت پروفیل‌های توموگرافی مقاومت ویژه الکتریکی نسبت به نقشه همپتانسیل حاصل از برداشت SP.



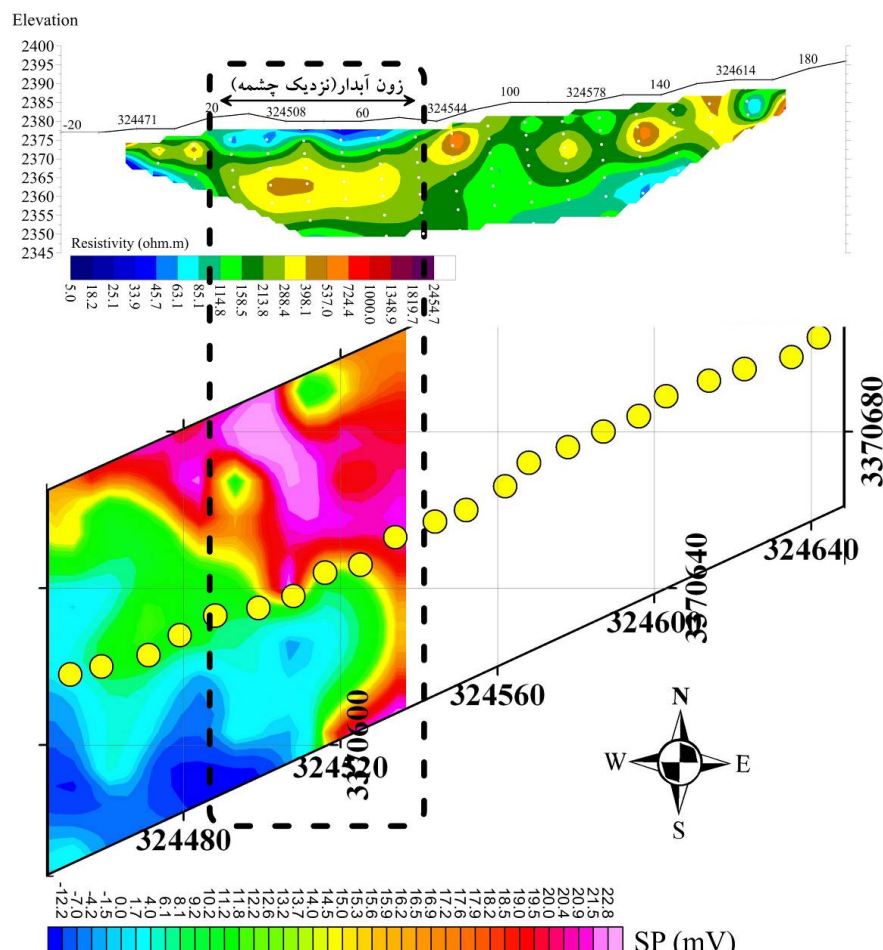
شکل ۹. انطباق نتایج حاصل از برداشت پتانسیل خودزا و پروفیل P1 توموگرافی مقاومت ویژه الکتریکی.



شکل ۱۰. انطباق نتایج حاصل از برداشت پتانسیل خودزا و پروفیل P2 توموگرافی مقاومت ویژه الکتریکی.



شکل ۱۱. انطباق نتایج حاصل از برداشت پتانسیل خودزا و پروفیل P3 توموگرافی مقاومت ویژه الکتریکی.



شکل ۱۲. انطباق نتایج حاصل از برداشت پتانسیل خودزا و پروفیل P4 توموگرافی مقاومت ویژه الکتریکی.

روش ژئوفیزیکی، تأیید کننده وجود نشت از بستر سد در چند محل در یال شرقی و اصلی آن است. پیش‌بینی می‌شود افزایش سطح آب و رسوبات در پشت سد، باعث افزایش دبی نشت از نقاط مشاهده شده و ظهور مسیرهای جدید نشت گردد. بنابراین با توجه به محل‌های نشت و بروونزدهای قابل مشاهده در چند نقطه از دیواره سد و بیرون آمدن آب از نقاطی در داخل چشمۀ رو به روی سد که منشأ آن همان سد رسوب گیر است و نیز با توجه به همخوانی نتایج حاصل از دو روش ژئوفیزیکی به کار رفته با یکدیگر و با این مشاهدات صحرابی، نتیجه می‌شود ترکیب دو روش ژئوفیزیکی توموگرافی مقاومت ویژه الکتریکی (تشخیص زمین‌شناسی و هیدروژئولوژی) و پتانسیل خودزا (ردگیری مسیرهای نشت زیرسطحی)، روشی مناسب برای دیدبانی زیست‌محیطی سدهای باطله است.

تشکر و قدردانی

بدین وسیله از مرکز تحقیق و توسعه مجتمع مس شهر بابک شرکت ملی صنایع مس ایران که پژوهشگران را در اجرای این پژوهش یاری نمودند، صمیمانه قدردانی و سپاس‌گزاری می‌شود.

منابع

- تلفورد، دبليو ام، جلدات، ال بي، شريف، آر اي، و كيز، دي اي، ۱۹۸۹، ژئوفیزیك کاربردي، ترجمه حاجب حسينيه، ح، و زمرديان، ح، انتشارات دانشگاه تهران.
- قرباني، ا، بمانى، م، انصارى، ع، و قاري، ح، ۱۳۹۳، کاربرد مقاومت ویژه الکتریکی دو بعدی در شناسایي هندسه زمین لغزش نقل سمیرم، مجله انجمن زمین‌شناسی مهندسي ايران، ۶ (۳-۴)، ۳۲-۳۲.

۷ نتیجه‌گيري

با توجه به اينکه مصالح به کاررفته در دیواره خارجي سد رسوب گير، بسیار درشت‌دانه بوده (با ميانگين ابعاد حدود ۶۰۰ ملي‌متر) و مقاومت تماسی بين مصالح و الکترودها بسیار زياد است، برداشت‌های ژئوالکتریکی از نظر تثوري بر روی دیواره قابل اجرا نبود. با اين حال، پروفیلى جهت بررسی بر روی دیواره سد برداشت گردید که نتایج تکرارناپذير و غيرقابل قبول بودند؛ از اين رو اندازه‌گيري بر روی دیواره سد از نظر عملی نيز قابل اجرا نبود اما شروع پروفيلها از نزديك‌ترین فاصله به دیواره سد انتخاب شد.

نتایج برداشت توموگرافی مقاومت ویژه الکتریکی وجود دو زون رسانا را يكى در یال شرقی و دیگری در یال اصلی سد رسوب گير نشان می‌دهد که بیانگر خردشده‌گي بستر سد در اين محل هاست. در یال شرقی در حال حاضر، نشت از روی بستر سد قابل مشاهده است.

پیش‌بینی می‌شود با افزایش سطح آب در پشت سد، عوامل نشت در یال اصلی نیز اتفاق یافتد. نتایج نشان می‌دهد زمین‌شناسی و وجود زون خردشده در بستر سد عامل اصلی نشت است. اما با توجه به وجود نشت دقیقاً در جلوی سد، در تماس سد با زمین، احتمال نشت از درون دیواره سد نیز وجود دارد. در نتایج برداشت پتانسیل خودزا نیز وجود آنومالی مثبت SP در پایین دست سد، دو مسیر نشت زیرسطحی را نشان می‌دهد که نتایج حاصل از برداشت توموگرافی مقاومت ویژه الکتریکی را تأيد می‌کند. با توجه به نتایج حاصل از مطالعات هيدروشيمى نیز، كيفيت نمونه‌های آب برداشت‌شهده از محل‌های نشت مستقیم از سد رسوب گير، بسیار نزديك و شبيه به كيفيت آب موجود در چشمۀ های رو به روی سد است؛ اين موضوع تأييد کننده وجود نشت از سد رسوب گير به سمت چشمۀ ها و ورود آن به منابع آب زيرزميني منطقه پایین دست است. انطباق نتایج مطالعات هيدروشيمى و دو

- Nouroozi, G., ۱۳۹۲، روش‌های الکتریکی در ژئوفیزیک اکتشافی، انتشارات دانشگاه تهران.
- واحد زمین‌شناسی و امور اکتشافات شرکت ملی صنایع مس ایران، ۱۳۷۰، گزارش مطالعات اکتشافی در محدوده معدن مس میدوک توسط شرکت اتوکمپو فنلاند، آرشیو فنی معدن مس میدوک.
- واحد زمین‌شناسی و امور اکتشافات شرکت ملی صنایع مس ایران، ۱۳۸۷، گزارش نقشه زمین‌شناسی-معدنی ۱:۱۰۰۰ بخش‌های غربی و شرقی معدن مس پورفیری میدوک توسط شرکت پارس اولنگ، آرشیو فنی معدن مس میدوک.
- Abdelrahman, E. M., and El-Araby, T. M., 1997, An iterative approach to depth determination from moving average residual self-potential anomalies: King Abdulaziz Univ, Earth Science, **9**(3), 26–97.
- Al-Saigha, N. H., Mohammed, Z. S., and Dahham, M. S., 1994, Detection of water leakage from dams by self-potential method: Engineering Geology, **37**(2), 115–121.
- Grangeia, C., Avila, P., Matias, M., Ferreira, D., and Silva, E., 2011, An integrated investigation of the Rio tailings Panasqueria mine (central Portugal): Engineering Geology, **123**(4), 359–372.
- Ikard, S. J., Revil, A., Schmutz, M., Karaoulis, M., Jardani, A., and Mooney, M., 2014, Characterization of focused seepage through an earthfill dam using geoelectrical methods: Groundwater, **52**(6), 952–965.
- Ikard, S. J., Rittgers, J., Revil, A., and Mooney, M. A., 2015, Geophysical investigation of seepage beneath an earthen dam: Groundwater, **53**(2), 238–250.
- Lapenna, V., Lorenzo, P., Perrone, A., Piscitelli, S., Rizzo, E., and Sdao, F., 2005, Case history: 2D electrical resistivity imaging of some complex landslides in Lucanian Apennine (Southern Italy): Geophysics, **70**(3), B11–B18.
- Loke, M.H., 2001, Tutorial: 2-D and 3-D electrical imaging surveys: Geotomo Software: Penang, Malaysia. <http://www.geoelectrical.com>.
- Loke, M. H., and Barker, R. D., 1996, Practical techniques for 3D resistivity surveys and data inversion: *Geophysical Prospecting*, **44**, 499–523.
- Mainaly, G., 2006, Monitoring of tailings dams with geophysical methods: Patent 7, Lulea University of Technology, 93 pp.
- Moore, J. R., Boleve, A., Sanders, J. W., and Glaser, S. D., 2011, Self-potential investigation of moraine dam seepage: *Journal of Applied Geophysics*, **74**, 277–286.
- Murthy, S. B. V., and Haricharan, P., 1985, Nomogram for the spontaneous potential profile over sheet-like and cylindrical two-dimensional sources: *Geophysics*, **50**, 1127–1135.
- Ogilvy, R. D., Kuras, O., Palumbo-Roe, B., Meldrum, P. I., Wilkinson, P. B., Chambers, J. E., and Klinck, B. A., 2009, The detection and tracking of mine-water pollution from abandoned mine using electrical tomography: International Mine Water Conference, 917–925.
- Panthulu, T. V., Krishnaiah, C., and Shirke, J. M., 2001, Detection of seepage paths in earth dams using self-potential and electrical resistivity methods: *Engineering Geology*, **59**(3), 281–295.
- Reynolds, J. M., 2000, An Introduction to Applied and Environmental Geophysics: John Wiley and Sons Ltd.
- Rucker, D. F., Schindler, A., Levitt, M. T., and Glaser, D. R., 2009, Three-dimensional electrical resistivity imaging of a gold heap: *Hydrometallurgy* **98**(3–4), 267–275.
- Telford, W. M., Geldart, L. P., and Sheriff, R. E., 2004, Applied geophysics: Digital Printing, Published by Press Syndicate of the University of Cambridge.
- Vanhala, H., Raisanen, M. L., Suppala, I., Huotari, T., Valjus, T., and Lehtimaki, J., 2005, Geophysical characterizing of tailings impoundment – a case from the closed Hammaslahti Cu-Zn mine, Eastern Finland: Geological Survey of Finland, 49–60.
- Werkema, D., Atekwana, Jr. E., Sauck, W., and Asumadu, J.A., 2000, A generic automated/semitautomated digital multi-electrode instrument for field resistivity measurements: *IEEE Transactions on Instrumentation and Measurement*, **49**(6), 1249–1253.

Geoelectrical investigation of seepage beneath the tailing dam areas of Miduk Copper Mine

Sahar Yahyaabadi¹, Ahmad Ghorbani^{2*}, Abdolhamid Ansari², and Elham Saeinia³

¹*M. Sc. Student, Mining and Metallurgical Engineering, Yazd University, Yazd, Iran*

²*Associate Professor, Mining and Metallurgical Engineering, Yazd University, Yazd, Iran*

³*M. Sc., Mining and Metallurgical Engineering, Yazd University, Yazd, Iran*

(Received: 01 May 2016, Accepted: 12 March 2017)

Summary

A tailing dam or confining embankment is constructed to enable the deposited tailings to settle and retain processed water. Tailing dams are susceptible to different kinds of pressures such as water pressure and the load of the tailings themselves. Miduk tailing dam was originally constructed with a fine silty sand layer to retain water covered by coarse grains. It was constructed in stages according to the downstream method, filter and support fill.

Tailing dams and downstream areas must be monitored as they undergo internal erosion, during which, the fine grains in the core of a dam are flushed away by seeping water and, as a consequence, the hydraulic conductivity in the remaining material increases. High velocity flows through the dam embankment can cause progressive erosion and piping. Moreover, the saturation of embankment soils, abutments, differential settlements in foundations, local stress relaxation in the soil and locally increased hydraulic gradient generally reduce soil strengths. The seepage issue in a tailing dam is the cause of reservoir loss to groundwater. Furthermore, it causes environmental problems such as the diffusion of heavy metals, acid drainage and so forth. Reversed water from the tailing dam is particularly important in desert areas.

Resistivity and self-potential (SP) monitoring has been widely applied for solving environmental and engineering problems of embankment dams by studying the changes in the subsurface properties with time. SP changes are caused by water movements through (or under) the dam and resistivity changes reflect the changes in the electrical properties of the dam materials.

Self-potential (SP) is a method where naturally occurring electrical potentials are measured. There are a number of different electro-chemical processes that can create such potentials. The type that is of interest in dam investigations is the so-called streaming potential which is the voltage difference parallel to the direction of flow. The streaming potential is manifested by a shearing of the diffuse layer caused by the hydraulic gradient. The field equipment for SP measurements is simple and inexpensive. It requires a pair of non-polarized electrodes, a high impedance voltmeter and t cables to connect them. Electrode drifts were controlled during SP measurements. Electrode drift is primarily caused by variations in temperature or soil moisture or by contamination of the electrolyte by ions introduced from the soil. Changes in the telluric currents induce substantial changes in the potential distribution in the subsurface, an effect accounted for by making regular measurements of the SP difference between the reference point and the base point within the survey area.

The Resistivity method involves the measurement of the apparent resistivity of soil and rocks as a function of depth or position. The resistivity of the ground is measured by injecting a current with two electrodes and measuring the resulting potential difference with two other electrodes. The readings are usually converted into an apparent resistivity of the sub-surface. From these measurements, the true resistivity of the subsurface can be estimated. The investigated volume can be changed by moving the electrodes. The data are usually inverted to a vertical resistivity section, assuming a 2D geometry perpendicular to the profile. Most commonly, the local variability is minimized, resulting in smooth models compatible with the measured data, meaning that sharp resistivity borders such as the ground water surface is visualized as a smooth transition in such inverted sections.

The principle objective of the present study was to evaluate the electrical resistivity and the self-potential methods used to detect anomalous seepage through mine tailing dams. In this regard, field measurements of resistivity and self-potential were carried out on the downstream grounds of tailing dam so as to identify the SP-responses related to seepage. The hydro-stratigraphy was mapped with the resistivity data (4 profiles of ERT) and groundwater flow patterns were specified with self-potential data (208 SP measurement points). The groundwater flow pattern was controlled by the geological and tectonic history of bedrock and the preferential flow pathway existing beneath the dam.

Keywords: seepage, tailing dam, electrical resistivity tomography (ERT), self-potential (SP), monitoring, Miduk Copper Mine

*Corresponding author:

aghorbani@yazd.ac.ir www.SID.ir